

ОБЪЕДИНЕННЫЙ
ИНСТИТУТ
ЯДЕРНЫХ
ИССЛЕДОВАНИЙ
ДУБНА



A-646

3974/2-76

"1/2-46
P1 - 9810

ИССЛЕДОВАНИЕ РОЖДЕНИЯ РЕЗОНАНСОВ
В π^- p-ВЗАИМОДЕЙСТВИЯХ ПРИ 40 ГЭВ/С

Сотрудничество: Алма-Ата-Будапешт-Бухарест-Варшава-
Дубна-Краков-Москва-София-Ташкент-
Тбилиси-Улан-Батор-Ханой

1976

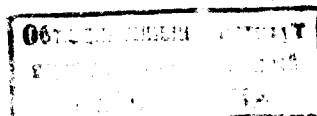
P1 - 9810

ИССЛЕДОВАНИЕ РОЖДЕНИЯ РЕЗОНАНСОВ
В π^- р-ВЗАЙМОДЕЙСТВИЯХ ПРИ 40 ГЭВ/С

Сотрудничество: Алма-Ата-Будапешт-Бухарест-Варшава-
Дубна-Краков-Москва-София-Ташкент-
Тбилиси-Улан-Батор-Ханой*

Направлено на ХУШ Международную конференцию
по физике высоких энергий (Тбилиси, июль 1976)

* Перечень авторов см. на обороте титула.



Н.Ангелов, К.П.Вишневская¹, В.Г.Гришин, С.В.Джмухадзе,
Л.А.Диденко,¹ И.А.Ивановская, Т.Я.Иногамова, Т.Канарек,
Е.Н.Кладницкая, В.Б.Любимов, С.И.Лютов,¹ Н.Н.Мельникова,
В.С.Мурзин,¹ Р.М.Назаргулов, В.Ф.Никитина, В.М.Попова,¹
А.Н.Соломин,¹ Х.И.Семерджиев, М.И.Соловьев, В.Н.Пенев,
Д.Тувдendorж, Н.Г.Фадеев, Э.Т.Цивцивадзе, А.И.Шкловская,
Л.М.Щеглова,¹ Г.Янчо.

Объединенный институт ядерных исследований, Дубна.

Е.О.Абдрахманов, А.Н.Басина, А.Х.Виницкий, Л.Е.Еременко,
Л.Е.Страутман, И.С.Стрельцов.

Институт физики высоких энергий АН Каз.ССР, Алма-Ата.

Т.Гемеш, Л.Йеник, Д.Киш, Ш.Красновски, Д.Пинтер,
К.Хайду.

Центральный институт физических исследований, Будапешт.

О.Балеа, В.Болдеа, Т.Понта, С.Фелеа.

Институт атомной физики, Бухарест.

Е.Биалковска, В.Вуйчик, Я.Гаевски, М.Гурски, Р.Сосновски.
Институт ядерных исследований и Институт физики
Варшавского университета, Варшава.

Е.Бартке, А.Квятковска, К.Слива.

Институт ядерной физики и Институт ядерной техники,
Краков.

Н.О.Ахабабян, Л.Грекова, Н.П.Иков.

Институт ядерной физики и ядерной энергетики, София.

С.А.Азимов, К.Р.Игамбердиев, Ш.В.Иногамов, С.Л.Лут
фуллаев, Е.В.Меерзон, К.Олимов, В.Д.Липин, Х.А.Ризаев,
В.П.Сосник, Т.М.Усманов, А.А.Юлдашев, Б.С.Юлдашев.
Физико-технический институт АН УзССР, Ташкент.

Л.Н.Абесалашвили, Н.С.Амаглобели, Л.Т.Ахобадзе,
М.А.Дасаева, Т.И.Квачадзе, М.М.Куталия, Р.Г.Салуквадзе,
Ю.В.Тевзадзе, И.И.Тулиани, М.С.Чаргейшвили.
Тбилисский государственный университет, Тбилиси.

Ц.Баатар, Б.Чадраа.

Институт физики и математики МАН, Улан-Батор.

Нгуен Дин Ты.

Ханойский университет, Ханой.

¹/Физический факультет и Научно-исследовательский
институт ядерной физики МГУ.

Введение

В настоящей работе изучается рождение ρ^0 , f^- , ω^- ,
 K^{*-} и Δ^{++} -резонансов в $\pi^- p$ -взаимодействиях при им-
пульсе 40 ГэВ/с. Экспериментальный материал, около
11000 неупругих $\pi^- p$ -взаимодействий, был получен
с помощью двухметровой пропановой пузырьковой камеры,
облученной на серпуховском ускорителе. Для извлечения
данных о рождении резонансов использовались неупругие
 $\pi^- p$ -взаимодействия, в которых импульсные и угловые
характеристики всех вторичных заряженных частиц были
измерены.

Описание методических особенностей эксперимента
и ряд физических результатов, полученных на этом мате-
риале, приведены в работах¹⁻³. Здесь лишь отметим, что
все вторичные заряженные частицы, за исключением про-
тонов с импульсами, меньшими $0,7 \text{ ГэВ/с}$, считались
пионами. Протоны с $P_{\text{лаб}} < 0,7 \text{ ГэВ/с}$ идентифицировались
по ионизации. В этом случае примесь протонов среди
вторичных положительных заряженных частиц составляет
 $\approx 15\%$, а примесь K^\pm -мезонов и Σ^\pm -гиперонов среди вто-
ричных заряженных частиц - $/4-5\%^{2,3}/$. Некоторая часть
результатов этой работы была опубликована ранее⁴.

§1. Распределение эффективных масс $(\pi^+ \pi^-)$ - мезонов и сечения ρ^0 , f^- и ω -резонансов

В качестве основного источника информации о рож-
дении обсуждаемых резонансов использовался спектр
эффективных масс пар $(\pi^+ \pi^-)$ -мезонов ($M(\pi^+ \pi^-)$). Анализ

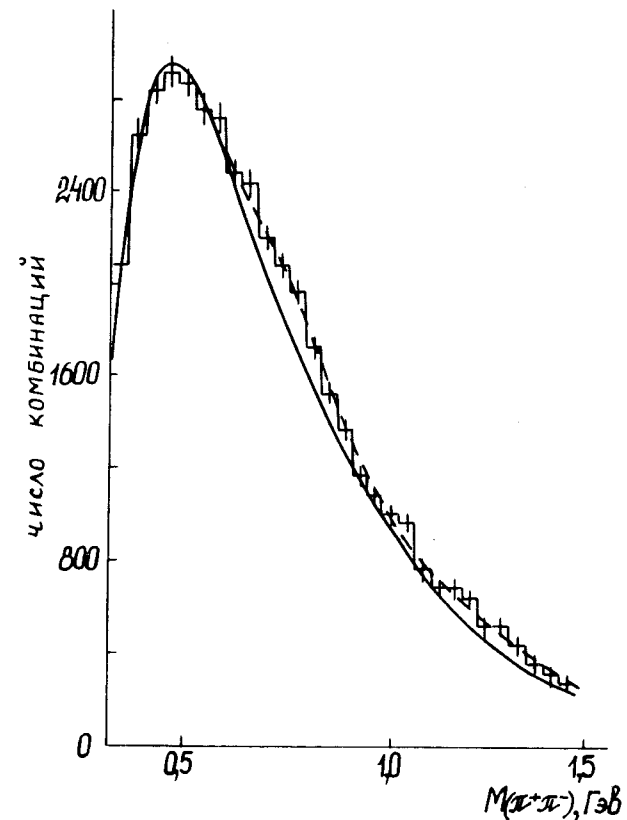


Рис. 1

этого спектра проводился путем сравнения его с фоновым распределением и с теоретическими функциями, описывающими резонансы. Экспериментальное распределение dN/dM аппроксимировалось функцией типа

$$F(M) = \sigma_\rho \cdot k_1 \cdot BW_\rho(M) + \sigma_f \cdot k_2 \cdot BW_f(M) + \\ + \sigma_\omega \cdot k_3 \cdot F_\omega(M) + \alpha \cdot BG(M), \quad /1/$$

где $\sigma_{\rho, f, \omega}$ - подбираемые сечения соответствующих резонансов; k_1, k_2, k_3 - нормировочные коэффициенты;

α - подбираемый параметр; $BG(M)$ - фоновое распределение; $F_\omega(M)$ - функция распределения эффективных масс $(\pi^+\pi^-)$ -мезонов, возникающих при распаде $\omega \rightarrow \pi^+\pi^-\pi^0$; $BW_{\rho^0, f}(M)$ - релятивистские функции Брейта-Вигнера. Функции Брейта-Вигнера брались в виде^{/5/}:

$$BW(M) = \frac{M}{q} \cdot \frac{MM_0\Gamma}{(M^2 - M_0^2)^2 + M_0^2\Gamma^2}, \quad /2/$$

$$\Gamma = \Gamma_0 \left(\frac{q}{q_0}\right)^{2\ell+1} \left(\frac{M_0}{M}\right), \quad /3/$$

где M_0 , Γ_0 - масса и ширина резонанса соответственно, q - импульс π^\pm -мезона от распада резонанса в системе покоя резонанса, q_0 есть q при $M=M_0$, $\ell=1$ для ρ^0 -мезона и $\ell=2$ для f -мезона. Массы и ширины ρ^0 и f в /2/ и /3/ были зафиксированы в соответствии с их табличными значениями^{/6/}.

Очевидно, что ошибки в определении эффективных масс влияют на экспериментально наблюдаемую форму и ширину резонансных кривых.

Учет вызванных экспериментальными погрешностями искажений в теоретических кривых, описывающих резонансы, был осуществлен путем интегрирования этих кривых с функцией разрешения в виде кривой Гаусса. Зависимость дисперсий от массы определялась выражением

$$\sqrt{D(M)} = 0,128(M - 2m_\pi) \quad /4/$$

Для контроля правильности нахождения функции разрешения использовались данные, полученные в этом же эксперименте, по определению массы K_1^0 -мезона по распадным π^\pm -мезонам^{/1-3/}. Были получены сечения рождения ρ^0 - и f -мезонов без учета и с учетом возможного отражения распада ω -мезона в спектре эффективных масс $\pi^+\pi^-$.

При анализе инклузивного экспериментального спектра $M(\pi^+\pi^-)$ без учета отражения ω -мезона^{/σ_ω ≈ 0} в формуле /1// фоновая кривая $BG(M)$ бралась в виде

$$BG(M) = \left(\frac{M_1}{M_2} \right)^a \exp(-bM_1 + cM_1^2),$$

/5/

где

$$M_1 = M(\pi^+\pi^-) - 2m_{\pi}, \quad M_2 = 1 \text{ ГэВ},$$

a, b, c - подбираемые параметры.

Распределение по $M(\pi^+\pi^-)$ аппроксимировалось функцией /1/ при $\sigma_\omega = 0$ с учетом /4/ и /5/. Аппроксимация производилась в интервале 0,31-2,0 ГэВ с помощью метода наименьших квадратов. В результате были получены значения параметров $a = 0,68 \pm 0,03$, $b = -4,39 \pm 0,16/\text{ГэВ}^{-1}$, $c = -0,78 \pm 0,06/\text{ГэВ}^{-2}$ и нормированное значение $\chi^2 = 1,20$. Сечения инклюзивного рождения ρ^0 - и f -мезонов оказались равными $\sigma(\rho^0) = 5,8 \pm 1,4$ мб и $\sigma(f \rightarrow \pi^+\pi^-) = 2,6 \pm 0,9$ мб. На рис. 1 приведено инклюзивное распределение $M(\pi^+\pi^-)$ для неупругих π^-p -взаимодействий при $P = 40$ ГэВ/с / $n_{ch} \geq 2$ - число заряженных вторичных частиц/. Сплошной кривой показано фоновое распределение /5/, пунктирной - результат аппроксимации формулой /1/ при $\sigma_\omega = 0$.

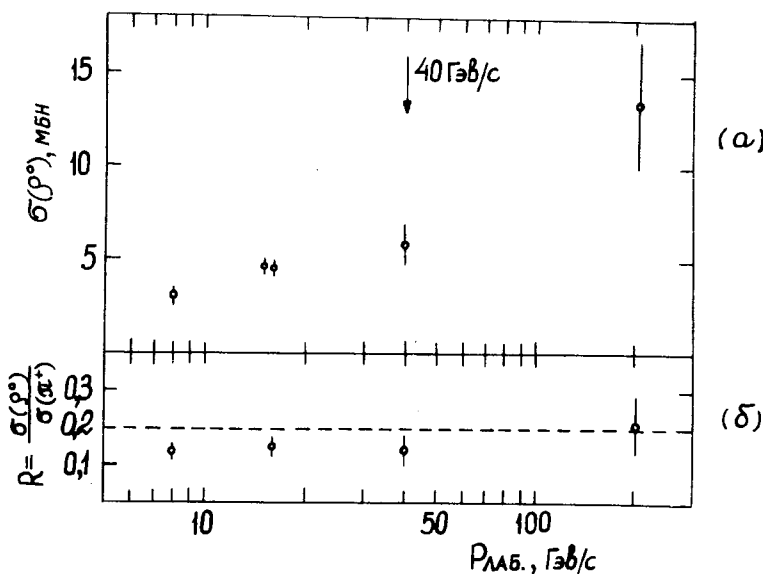


Рис. 2

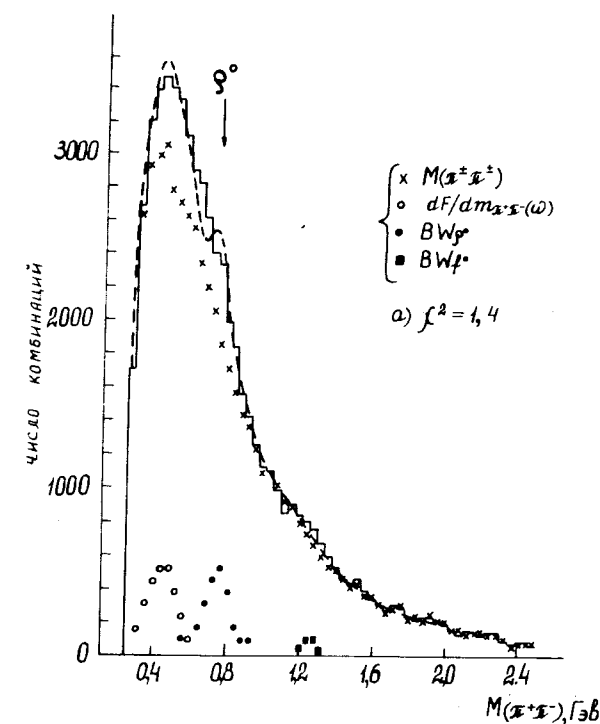


Рис. 3

На рис. 2а приведены инклюзивные сечения образования ρ^0 -мезонов в π^-p -взаимодействиях при $E \geq 8$ ГэВ, полученные аналогичным способом /7, 8, 9/. Здесь же /рис. 2б/ даны величины отношений R этих сечений к инклюзивным сечениям π^+ -мезонов. Как видно из рисунка, доля π^+ -мезонов, образующихся от распадов ρ^0 -мезонов, составляет 15-20% и остается практически постоянной в интервале энергий /20-200/ ГэВ. Аналогичный результат получен и для π^+p -взаимодействий /10, 11/. В протон-протонных взаимодействиях доля π^- -мезонов, образующихся в результате распада ρ^0 -мезонов, составляет ~10% от всех π^- -мезонов /12, 13, 14/.

Рассмотрим отражение распадов $\omega \rightarrow \pi^+\pi^-\pi^0$ на спектр $M(\pi^+\pi^-)$. Спектр эффективных масс $F_\omega(M)$, образованных при распаде ω -мезонов, можно представить в виде /4/:

$$F_\omega(M) \sim M \int |\vec{\Omega}|^2 dm_{\pi\pi}^2 ,$$

/6/

где $\vec{\Omega} \sim [\vec{P}_i \times \vec{P}_j]$ - матричный элемент распада $\omega \rightarrow 3\pi$.

Распределение /6/ с учетом функции разрешения использовалось в формуле /1/ при аппроксимации экспериментального распределения для получения сечений рождения ρ^0 , f - и ω -резонансов. В качестве фоновой кривой $BG(M)$ в этом случае мы использовали спектр эффективных масс $(\pi^+ \pi^-)$ -пар. Определение сечений резонансов проводилось с помощью /1/ как для инклюзивного спектра $M(\pi^+ \pi^-)$ с $n_{ch} \geq 4$, так и для спектров $M(\pi^+ \pi^-)$ для $\pi^- p$ -взаимодействий с фиксированной множественностью вторичных заряженных частиц. В результате было получено, что $\sigma(\rho^0) = 13,3 \pm 1,4$, $\sigma(\omega) = 10,0 \pm 1,1$ и $\sigma(f \rightarrow \pi^+ \pi^-) = 1,3 \pm 0,8$ мб при $\chi^2 = 1,37$. В таблице приведены инклюзивные и полуинклюзивные сечения образования ρ^0 - и ω -резонансов и их средняя множественность ^{/4/}.

На рис. 3 представлены результаты аппроксимации спектра $M(\pi^+ \pi^-)$ с учетом ρ^0 -, ω - и f -мезонов. На рис. 4 даны сечения образования ρ^0 -мезона при учете отражения ω -мезона для различных n_{ch} . Для этого же случая приводится зависимость от n_{ch} относительной доли π^+ -мезонов, образующихся в результате распада ρ^0 -мезонов. При этом суммарная доля π^+ -мезонов, возникающих при распаде ρ^- и ω -мезонов в предположении $\sigma(\rho^0) = \sigma(\rho^+)$, составляет $\sim 80\%$ *.

Нами была сделана попытка обнаружения образования ω -мезонов и прямым способом, т.е. на основе спектров эффективных масс $M(\pi^+ \pi^- \pi^0)$. Для этой цели вычислялись эффективные массы двух гамма-квантов ($M(\gamma\gamma)$). Далее считалось, что два гамма-кванта являются продуктами рас-

Таблица

n_{ch}	90° -мезон		30° -мезон		$\sigma(\rho^0)$ (мб)	σ (ρ^0 -мезон, когда ω -и f -мезона не учтены)
	$\langle n_{ch} \rangle$	σ (мб)	$\langle n_{ch} \rangle$	σ (мб)		
4	0,40 \pm 0,05	2,5 \pm 0,4	0,22 \pm 0,03	1,4 \pm 0,2	0,23 \pm 0,05	1,5 \pm 0,3
6	0,68 \pm 0,13	3,9 \pm 0,7	0,60 \pm 0,09	3,4 \pm 0,5	0,13 \pm 0,08	0,7 \pm 0,5
8	1,07 \pm 0,22	3,6 \pm 0,7	0,73 \pm 0,18	2,5 \pm 0,6	0,40 \pm 0,15	1,3 \pm 0,5
10	1,46 \pm 0,41	2,1 \pm 0,6	1,11 \pm 0,34	1,6 \pm 0,5	0,42 \pm 0,30	0,6 \pm 0,4
12	1,41 \pm 0,80	1,2 \pm 0,7	1,33 \pm 0,71	1,1 \pm 0,6	0,00 \pm 0,55	0,0 \pm 0,5
≥ 4	0,74 \pm 0,08	13,3 \pm 1,4	0,56 \pm 0,06	10,0 \pm 1,1	0,23 \pm 0,06	4,1 \pm 1,0

* Отметим, что введение в работах ^{/7-9/} процедуры учета влияния ω -мезонов может увеличить сечения образования ρ^0 -мезонов, однако это увеличение из-за иной конфигурации фоновых распределений, чем у нас, и меньших ошибок в величинах эффективных масс может не быть столь существенным, как в нашем эксперименте.

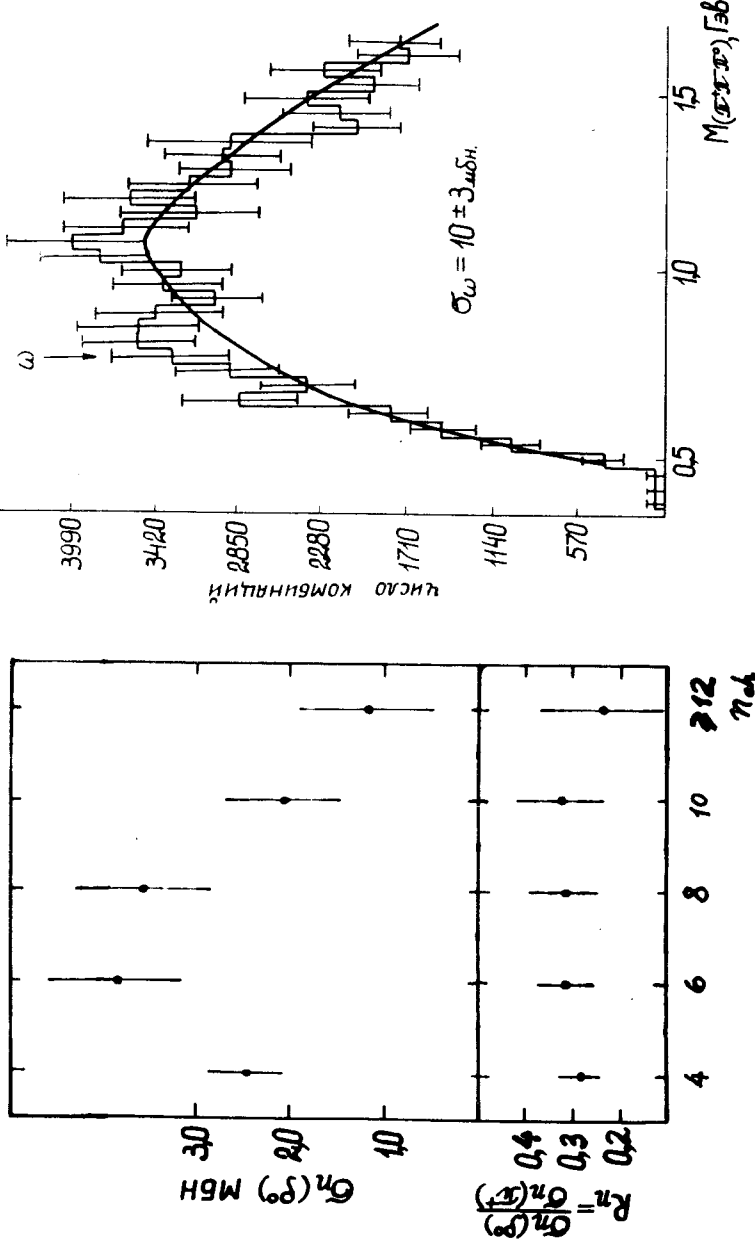


Рис. 5

Рис. 4

пада π^0 -мезона, если их эффективная масса отличается от массы π^0 -мезона только на одну ошибку. Спектр $M(\pi^+\pi^-\pi^0)$ для неупругих π^-p -взаимодействий с учетом эффективности регистрации гамма-квантов^{1/3} приведен на рис. 5.

Фоновая кривая проведена произвольно.

§2. Дифференциальные сечения ρ^0 -мезонов

Нами было также исследовано образование ρ^0 -мезонов в зависимости от величин их поперечных импульсов, переменной Фейнмана x и быстроты в с.ц.м. y^* . Для этой цели были построены распределения эффективных масс для каждой из групп $\pi^+\pi^-$ -комбинаций, попадающих в определенный интервал p_\perp^2 , x и y^* . Вклад ρ^0 -мезонов определялся, как и ранее, путем аппроксимации этих распределений теоретическими кривыми двух видов: /а/ с учетом отражения в спектрах $M(\pi^+\pi^-)$ -мезонов образования ω -мезонов и /б/ без учета ω -мезонов. В первом случае, как видно из зависимости $d\sigma(\rho^0)/dy^*$ /рис. 6/, большая часть всех образованных ρ^0 -мезонов имеют значения быстрот, соответствующих, условно говоря, центральной области, т.е. области $-1 < y^* < 1$. Для сравнения на рис. 6 приведены данные, полученные в π^-p -взаимодействиях при $15 \text{ ГэВ}/c$ ^{7/} и $205 \text{ ГэВ}/c$ ^{8/}. Как видно из рис. 6, увеличение сечений при $40 \text{ ГэВ}/c$ по сравнению с $15 \text{ ГэВ}/c$ происходит в основном за счет центральной области. Наши результаты примерно совпадают с данными при $205 \text{ ГэВ}/c$. Аналогичные заключения можно сделать на основании рассмотрения зависимости $d\sigma(\rho^0)/dx$ /рис. 7/. Интересно отметить, что наблюдается некоторая несимметричность обоих распределений относительно нуля: ρ^0 -мезоны "предпочитают" рождаться в области фрагментации пучка с несколько большими сечениями, чем в области фрагментации мишени.

Сечения ρ^0 -мезонов, полученные при расчетах, в которых не учитывалось влияние на $M(\pi^+\pi^-)$ -спектры ω -мезонов, существенно ниже только что приведенных, и в центральной области это понижение является особенно значительным.

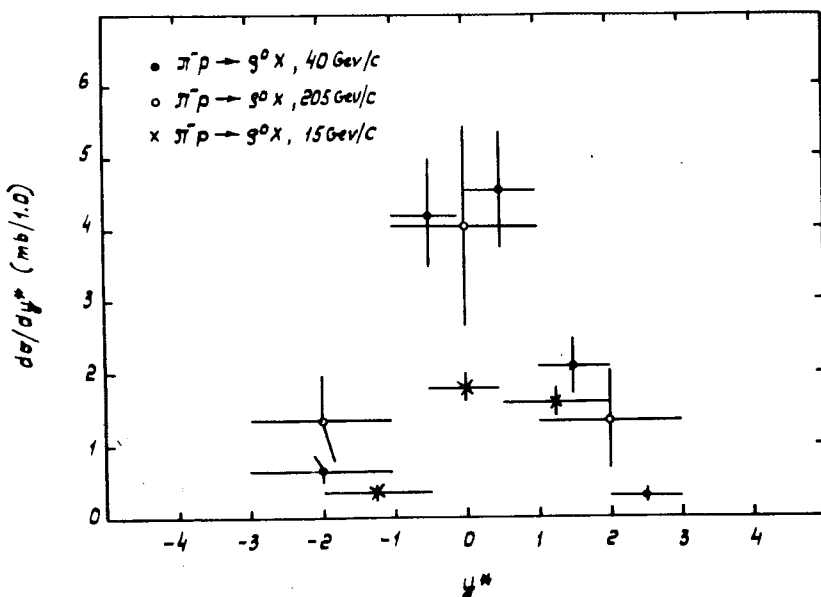


Рис. 6

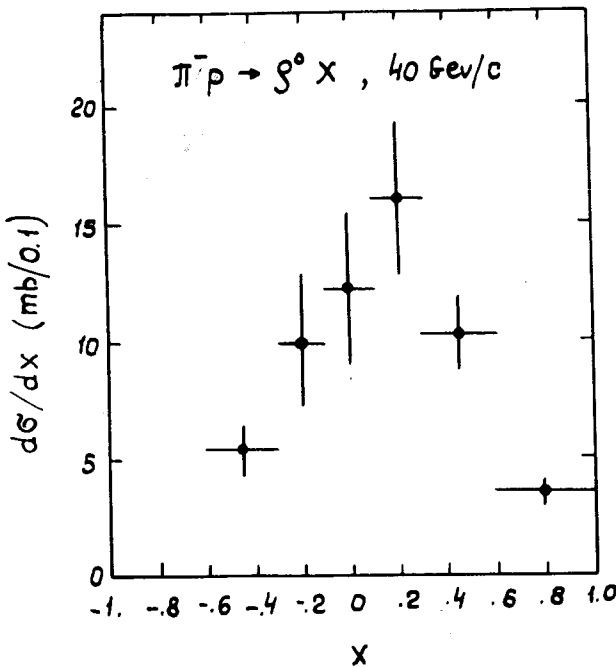


Рис. 7

Для сравнения на рис. 8 нанесено также дифференциальное сечение $d\sigma/dp_{\perp}^2$ для π^+ -мезонов, полученное в этом же эксперименте. Ход распределения $d\sigma(\pi^+)/dp_{\perp}^2$ невозможно описать одной функцией вида /7/. В области малых значений p_{\perp}^2 сечение для π^+ -мезонов значительно больше, чем для ρ^0 -мезонов, и только при $p_{\perp}^2 > 0,7/\text{ГэВ}/c^2$ величины сечений и наклоны распределений в пределах ошибок совпадают.

§3. Обсуждение результатов

Таким образом, приведенные данные говорят о том, что сечение образования ρ^0 -мезонов в $\pi^- p$ -взаимодействиях при $40 \text{ ГэВ}/c$ значительно. Учет образования ω -мезона существенно увеличивает сечение рождения ρ^0 -мезонов. Результаты прямого поиска ω -мезонов в спектрах $M(\pi^+ \pi^- \pi^0)$ не противоречат тому, что ω -мезоны, действительно, образуются с сечениями, близкими к полученным косвенным способом. Отношение инклузивных сечений образования ρ^0 -мезонов/при учете отражения ω / и π^+ -мезонов составляет у нас $0,28 \pm 0,04$ и согласуется в пределах ошибок с данными при $205 \text{ ГэВ}/c$. В области фрагментации мишени ($-3 < y^* < -1$) это отношение несколько ниже и составляет $0,12 \pm 0,03$. В других областях y^* отношения ρ^0/π^+ в пределах ошибок совпадают и равны для $-1 < y^* < 1$ и $1 < y^* < 3$ $0,29 \pm 0,05$ и $0,22 \pm 0,06$ соответственно. Как видно из рис. 8, отношение сечений ρ^0/π^+ значительно изменяется в зависимости от величин поперечного импульса и достигает при $p_{\perp}^2 \geq 0,7/\text{ГэВ}/c^2$ единицы.

§4. Рождение изобары Λ^{++} и $K^{*+}(890)$

Для исследования рождения изобары Λ^{++} в реакции $\pi^- p \rightarrow \Delta^{++} \dots$ было отобрано ~ 1880 неупругих $\pi^- p$ -взаимодействий с медленными протонами $|p_{\text{лаб}}| \leq 0,7 \text{ ГэВ}/c$, идентифицированными по ионизации. Мы построили спектры эффективных масс $p\pi^+$ -комбинаций.

На рис. 8 показано распределение $d\sigma(\rho^0)/dp_{\perp}^2$ для $p_{\perp}^2 \leq 2 / \text{ГэВ}/c^2$. Это распределение до значений $p_{\perp}^2 \leq 1 / \text{ГэВ}/c^2$ аппроксимировано функцией вида

$$\frac{d\sigma(\rho^0)}{dp_{\perp}^2} = A \exp(-B p_{\perp}^2) \quad /7/$$

с параметром наклона $B = 2,3 \pm 0,3 / \text{ГэВ}/c^2$. Эта величина не отличается от значений $2,7 \pm 0,5$ и $3,0 \pm 1,0 / \text{ГэВ}/c^2$, полученных для таких же распределений в $\pi^- p$ -взаимодействиях при 147/9/ и 205 ГэВ/c/8/ соответственно.

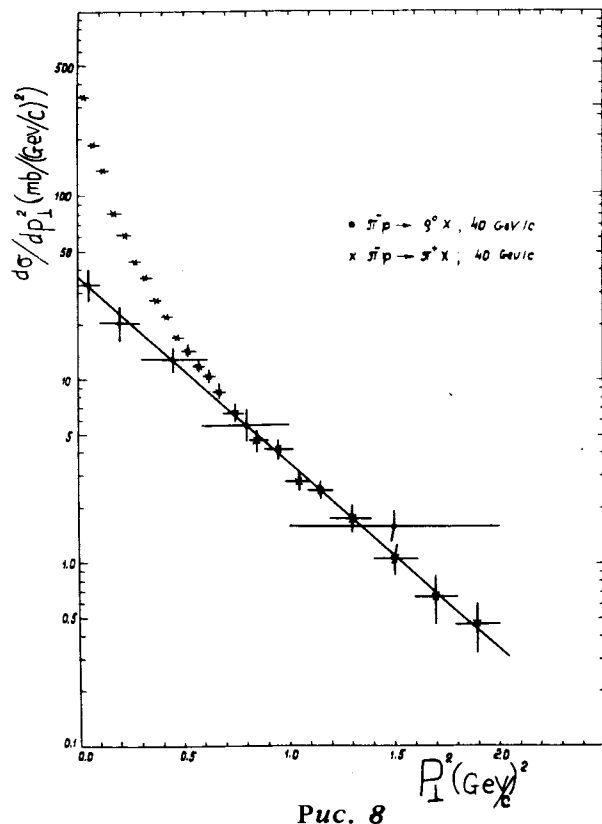


Рис. 8

Для сравнения с другими экспериментами на импульсы π^+ были наложены ограничения: $P_{\text{лаб}} \pi^+ < 1,5 \text{ ГэВ}/c$. Для оценки инклюзивного сечения рождения изобары были отобраны события, в которых $-t_{p \rightarrow \Delta^{++}} < 0,6 / \text{ГэВ}/c^2$, а комбинации эффективных масс (p_{π^+}) -системы лежали в области масс $1,12 < M(p_{\pi^+}) < 1,37 \text{ ГэВ}$. При этих условиях верхний предел инклюзивного рождения изобары Δ^{++} оказался равным $< 0,90 \pm 0,04 \text{ мб}$. Для сравнения укажем, что в $\pi^- p$ -взаимодействиях при $200 \text{ ГэВ}/c$ $\sigma(\pi^- p \rightarrow \Delta^{++} + \dots) = 0,80 \pm 0,1 \text{ мб}$ для $-t_{p \rightarrow \Delta^{++}} < 0,6 / \text{ГэВ}/c^2$ и $1,12 < M(p_{\pi^+}) < 1,36 \text{ ГэВ}$, т.е. при увеличении величины первичной энергии в 5 раз $\sigma(\Delta^{++})$ почти не изменяется. Мы попытались оценить величину сечения рождения Δ^{++} с учетом фона. Фон для $p \pi^+$ -комбинаций вычислялся по ММ модели^{/16/} в предположении отсутствия изобары Δ^{++} . При этом $\sigma(\Delta^{++})$ оказалось равным $0,78 \pm 0,04 \text{ мб}$.

Была сделана предварительная оценка сечения инклюзивного образования $K^{*+}(890)$ в реакции

$$\pi^- p \rightarrow K^{*+}(890) + \dots$$

на основе анализа спектра эффективных масс системы $K^0 \pi^+$. Фоновым считалось распределение по эффективным массам $K^0 \pi^+$ -комбинаций, когда вместо K^0 -мезона из данного события берется K^0 -мезон из другого события. Ввиду малой статистики сечение оценивалось по величине разницы между экспериментальным распределением и фоновым в области резонанса. Введены поправки на рождение K^0_L и нерегистрируемые моды распада K^0 и K^{*+} . Сечение получилось равным

$$\sigma(\pi^- p \rightarrow K^{*+} + \dots) = (1,4 \pm 0,8) \text{ мб}.$$

Мы признательны Г.И.Копылову, Е.М.Левину, М.И.Подгорецкому, В.М.Шехтеру за полезные обсуждения.

Литература

1. А.У.Абдурахимов, Н.Ангелов, В.А.Беляков и др. Сообщения ОИЯИ, 1-6967, Дубна, 1973.
2. А.У.Абдурахимов, Н.Ангелов, К.П.Вишневская и др. ЯФ, т. 18, в. 3, 545 /1973/.

3. А.У.Абдурахимов, Н.Ангелов, К.П.Вишневская и др.
ЯФ, т. 18, в. 6, 1251 /1973/.
4. Н.Ангелов и др. Препринт ОИЯИ, 1-9536, Дубна,
1976.
5. J.D.Jackson. Nuovo Cim., 34, 1644 /1964/.
6. Particle Data Group. Phys. Lett., 50B /1974/.
7. J.Brau et al. Nucl.Phys., B99, 232 /1975/.
8. F.C.Winkelmann et al. Phys. Lett., 56B, 101 /1975/;
P.Borzatza et al. Nuovo Cim., 15A, 45 /1973/.
9. D.Fong et al. Phys.Lett. 60B, 124 /1975/.
10. H.A.Gordon et al. Phys. Rev. Lett., 34, 284 /1975/.
11. M.Deutschmann et al. CERN/D.Ph. II/Phys., 75-29,
June, 1975.
12. V.Blobel et al. Phys. Lett., 48B, 73 /1974/.
13. R.Singer et al. ANL-HEP-PR-75-48,Argonne,1975.
14. В.Аммосов и др. Препринт ИФВЭ, М-19, Серпухов,
1975.
15. H.H.Bingham et al. Preprint 750527, LBL-3855, 1975.
16. D.S.Chernayskii et al. Preprint No. 53, Lebedev Phys.
Inst., 1975.

Рукопись поступила в издательский отдел
21 мая 1976 года.